

DS05 Ondes et mécanique

PP1

I-1-a Syst = masse m , soumis à $\vec{P} = m\vec{g}$

Donc R galiléen :

$$m\vec{a} = m\vec{g} \quad \vec{a} = \vec{g} = -g\vec{z}$$

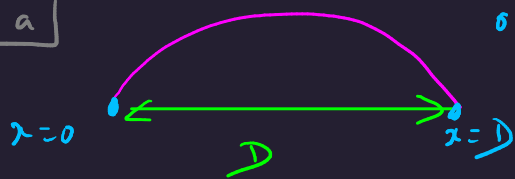
Avec les **CI** : $x=0 \quad \dot{x}_0 = v_0 \cos(\alpha)$
 $z=0 \quad \dot{z}_0 = v_0 \sin(\alpha)$

$$x = v_0 \cos(\alpha) t \quad z = -\frac{1}{2} g t^2 + v_0 \sin(\alpha) t$$

I-1-b $t = \frac{x}{v_0 \cos(\alpha)}$

$$\rightarrow z = -\frac{1}{2} g \frac{x^2}{v_0^2 \cos^2(\alpha)} + x \tan(\alpha)$$

I-2 a



on veut que $x(z=0) = D$

ie, pour $x \neq 0$, $x = \frac{2 \sin(\alpha) \cos(\alpha) v_0^2}{g} = \frac{v_0^2 \sin(2\alpha)}{g}$

On a donc $x_{max} = \frac{v_0^2}{g} = D$ ie $v_0 = \sqrt{gD} = v_{min1}$

I-2b On cherche la valeur minimale de v pour laquelle il existe un angle α tel que $z(x=D) = H$, soit, en utilisant $\frac{1}{\cos^2(\alpha)} = 1 + \tan^2(\alpha)$:

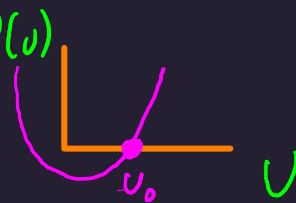
$$H = \frac{-gD^2}{2v_0^2} (1 + \tan^2 \alpha) + D \tan \alpha, \text{ ie :}$$

$$\tan^2 \alpha - \frac{2v_0^2}{gD} \tan \alpha + \frac{2v_0^2 H}{gD^2} + 1 = 0$$

$$\Delta = \frac{4v_0^4}{g^2 D^2} - 4 \left(1 + \frac{2v_0^2 H}{gD^2} \right)$$

Il existera des solutions de ce trinôme si $\Delta > 0$

ie $\left(\frac{v_0^2}{gD} \right)^2 - \frac{2v_0^2}{gD} \frac{H}{D} - 1 > 0$. $f(u)$



On aura $f(u) > 0$ pour $u > u_0$: racine positive qui est $u_0 = \frac{H}{D} + \sqrt{\frac{H^2}{D^2} + 1}$

ie $v_0^2 > gD \left(\frac{H}{D} + \sqrt{1 + \frac{H^2}{D^2}} \right)$

v_{min2}

I-2-c) On calcule $v_{\min 1} = 18,5 \text{ m.s}^{-1}$
 $v_{\min 2} = 14,2 \text{ m.s}^{-1}$

I-3-a) Il s'agit du même problème qu'en

I-2-b) $v_{\min 3} = \sqrt{g d \left(\frac{h}{d} + \sqrt{1 + \frac{h^2}{d^2}} \right)} \approx 10,6 \text{ m.s}^{-1}$

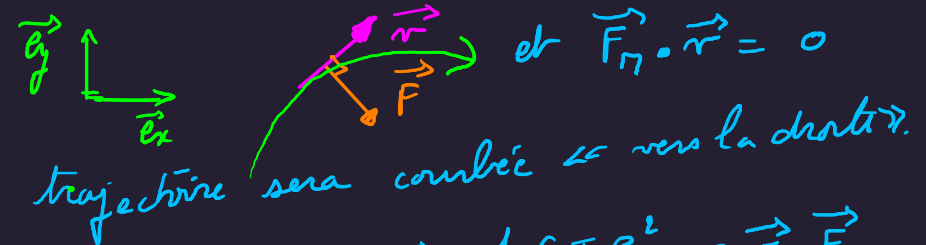
I-3-b) On veut $H = \frac{-g D^2}{2 v_0^2} (1 + \tan^2 \alpha) + D \tan \alpha$
 $h = \frac{-g d^2}{2 v_0^2} (1 + \tan^2 \alpha) + d \tan \alpha$

soit $\frac{H - D \tan \alpha}{D^2} = \frac{h - d \tan \alpha}{d^2} = \frac{-g}{2 v_0^2} (1 + \tan^2 \alpha)$

puis $\tan \alpha = \frac{h}{d} - \frac{H}{D}$ ie $\alpha = 15,8^\circ$ pour $v_0 = 29,6 \text{ m.s}^{-1}$
 $\frac{1}{d} - \frac{1}{D}$

elle est indépendante de v_0

II-1) $\vec{F}_n = m K_n (\dot{y} \vec{e}_i - \dot{x} \vec{e}_j)$: 1 vitesse selon \vec{e}_i , avec $\dot{x} \geq 0$ conduira à une force selon $-\vec{e}_j + \vec{e}_x$.
 \vec{e}_j $\dot{y} > 0$



La trajectoire sera courbée « vers la droite ».
 II-2-a) On a $m \vec{a} = m \vec{g} - \frac{1}{2} C \pi R^2 \rho v \vec{r} + \vec{F}_n$
 selon \vec{e}_j : $\ddot{z} = -g - \frac{1}{2} C \pi R^2 \rho v \dot{z} / m$
 II-2-b) Asymptotiquement, on aura $\dot{z} = -v_{\lim}$ - est

soit $m g = \frac{1}{2} C \pi R^2 \rho v_{\lim}^2 \rightarrow$

$v_{\lim} = \sqrt{\frac{2 g m}{C \pi R^2 \rho}} = 22 \text{ m.s}^{-1}$

indépendant de v_0 .
 On peut négliger

$\ddot{z} = - \frac{1}{2 m} C \pi R^2 \rho v_{\lim}^2 \left(1 + \frac{v \dot{z}}{v_{\lim}^2} \right)$

homogène à $\frac{v_{\lim}}{v_0} \rightarrow \delta = \frac{2 m}{C \pi R^2 \rho v_{\lim}^2}$
 Comme $v_{\lim} \gg v_0$, les frottements ne sont pas négligeables $\delta = 2,15 \Delta$

II-3-a On a

$$m\vec{a} = m\vec{g} + m k_m (\dot{y}\vec{e}_x - \dot{x}\vec{e}_y)$$

$$\vec{e}_x: \quad \dot{x} = k_m \dot{y} \quad \left. \begin{array}{l} q = x + iy \\ \dot{q} = \dot{x} + i\dot{y} \end{array} \right\} \quad \ddot{q} = \ddot{x} + i\ddot{y}$$

$$\vec{e}_y: \quad \dot{y} = -k_m \dot{x} \quad \left. \begin{array}{l} q = x + iy \\ \dot{q} = \dot{x} + i\dot{y} \end{array} \right\}$$

$$\rightarrow \ddot{q} = k_m (\dot{y} - i\dot{x}) = -i k_m \dot{q}$$

$$\ddot{q} + \gamma \dot{q} = 0 \text{ avec } \gamma = i k_m$$

II-3-b C.I $q(0)=0; \dot{q}(0)=\dot{x}_0 = v_0 \cos(\alpha)$

L'unique solution vérifiant $q(0)=\dot{x}_0$ est :

$$\dot{q} = v_0 \cos \alpha e^{-i k_m t}$$

$$\begin{aligned} \dot{x} &= \operatorname{Re}(\dot{q}) = v_0 \cos(\alpha) \cos(k_m t) \\ \dot{y} &= \operatorname{Im}(\dot{q}) = -v_0 \cos(\alpha) \sin(k_m t) \end{aligned}$$

II-3-c

$$\int_0^t \dot{q}(t) dt = v_0 \cos(\alpha) \int_0^t e^{-i k_m t} dt$$

$$q(t) - 0 = \frac{v_0 \cos(\alpha)}{i k_m} (1 - e^{-i k_m t})$$

$$x = \operatorname{Re}(q) = \frac{v_0 \cos(\alpha)}{k_m} \sin(k_m t)$$

$$y = \operatorname{Im}(q) = \frac{v_0 \cos(\alpha)}{k_m} (\cos(k_m t) - 1)$$

II-3-d En posant $R = \frac{v_0 \cos(\alpha)}{k_m}$, on a

$$\left(\frac{x}{R_c}\right)^2 + \left(\frac{y}{R_c} + 1\right)^2 = 1 \quad : \text{trajectoire}$$

circulaire de rayon R_c
 { centre $(x=0; y=-R_c)$

Le rayon de courbure algébrique est $-R_c$
 car la trajectoire « tourne à droite ».

On calcule

$$R_c = \frac{2 v_0 \cos(\alpha) m}{\pi \rho \omega \sin(\beta)} = 1,1 \cdot 10^2 \text{ m}$$

Annotations: 40, 20, 0,11, 1,1, $2\pi \times 10$, $\frac{\pi}{2}$

II-4-a

On cherche y quand $x = D$, soit

$$\left(\frac{D}{R_c}\right)^2 + \left(\frac{y_D}{R_c} + 1\right)^2 = 1$$

ie

$$y_D = -R_c + \sqrt{R_c^2 - D^2} = -5,6 \text{ m}$$

On pourra facilement trouver la personne gardant les buts avec une telle déviation.

II-4-b La force de frottement va diminuer la vitesse, la trajectoire ne sera plus circulaire. On utilise la base de Frenet; dans le plan Oxy , en négligeant \vec{g}

$$m\vec{a} = \underbrace{-\frac{1}{2} C_T R^2 \rho v \vec{v}}_{\propto \vec{v}} + m k_T \underbrace{(y\vec{e}_x - x\vec{e}_y)}_{\perp \vec{v}}$$

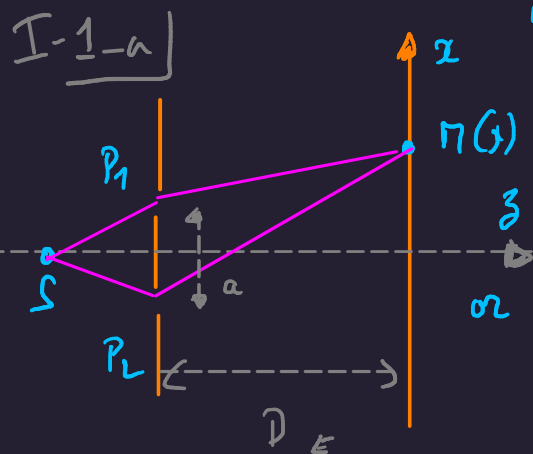
$$\text{or } \vec{a} = \underbrace{\vec{a}_T}_{\propto \vec{v}} + \underbrace{\vec{a}_N}_{\perp \vec{v}} \rightarrow a_N = \frac{v^2}{R_c} = k_T \sqrt{\dot{x}^2 + \dot{y}^2}$$

↑
en norme

Finalement $R_c = \frac{v}{k_T}$ on retrouve le même résultat que dans le cas où v restait constant : $v_0 \cos(\alpha)$ devient $\frac{v_0}{2} \rightarrow R_c$ est multiplié par $\frac{1}{2 \cos(\alpha)}$: $R_c = 59 \text{ m}$

L'allure sera la suivante, avec une diminution de R_c . La déviation sera donc plus faible que dans le cas à $v = \text{cte}$

PR2: Bételgeuse



$$\delta = \underbrace{(SP_2 + P_2M) - (SP_1 + P_1M)}_{\times n = 1} = P_2M - P_1M$$

car $SP_2 = SP_1$

$$\begin{aligned} \vec{P_1M} &= D\vec{e}_3 + \left(x - \frac{a}{2}\right)\vec{e}_2 \\ \vec{P_2M} &= D\vec{e}_3 + \left(x + \frac{a}{2}\right)\vec{e}_2 \end{aligned}$$

I-1-b] Pour $x \ll D_E$ (λ n'intervient pas) on a

$$P_1M \text{ et } P_2M \approx D_E \quad \delta = \frac{P_2M^2 - P_1M^2}{P_2M + P_1M} = \frac{2ax}{2D_E} = \frac{ax}{D_E}$$

interférences constructives pour $\delta = 0 \text{ [}\lambda\text{]}$

ie $\frac{ax}{D_E} = p\lambda \quad p \in \mathbb{Z}$ ie $x = p \frac{\lambda D_E}{a}$
 $i \equiv \frac{\lambda D_E}{a}$

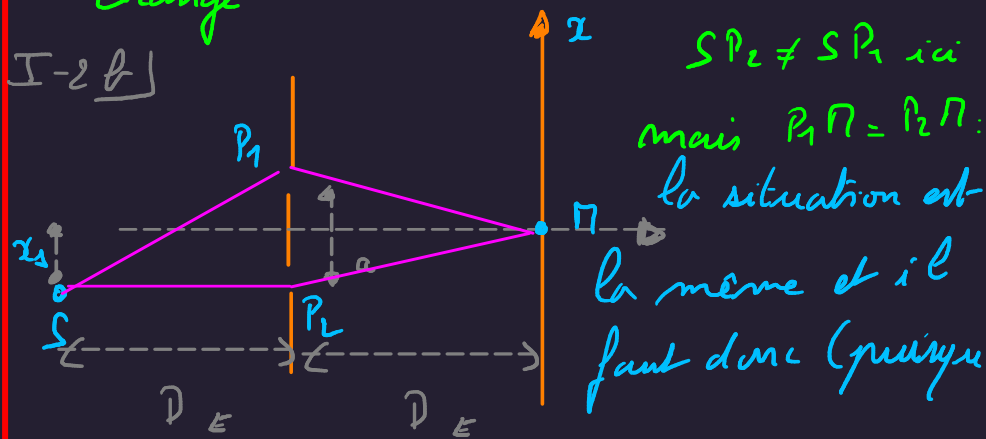
I-1-c] Formule de Fresnel:

sources $\frac{1}{2}$ {intensité I_0 : $I = 2I_0 + 2\sqrt{I_0^2} \cos\left(\frac{2\pi\delta}{\lambda}\right)$

$$I = 2I_0 \left(1 + \cos \frac{2\pi ax}{\lambda D_E}\right) \quad \alpha = \frac{2\pi a}{\lambda D_E}$$

intensité d'une seule source

I-2-a] i est indépendant de D_S : rien ne change



$D_S = D_E$) $x_s = \frac{i}{2} \leftarrow$ interférence destructive

$$x_s = \frac{\lambda D_E}{2a}$$

I-3a] On a toujours $P_2M - P_1M = \frac{ax}{P_1M + P_2M}$

$P_1M \approx P_2M \approx \sqrt{D^2 + x^2} \approx \frac{x}{\sin \theta}$ soit $P_2M - P_1M = a \sin \theta$.
 pour $\frac{a \ll x}{a \ll D}$ De même $SP_2 - SP_1 = -a \sin \theta_s$.

$$\rightarrow \delta = a(\sin \theta - \sin \theta_s)$$

I-3-P $0 \ll 1 \quad \theta_1 \ll 1 \quad \delta \approx a(\theta - \theta_1)$



soit $I = 2I_0 \left(1 + \cos \frac{2\pi \delta}{\lambda}\right) = 2I_0 \left(1 + \cos \frac{2\pi a}{\lambda} (\theta - \theta_1)\right)$

$\beta = \frac{2\pi a}{\lambda}$

Deux directions angulaires d'interférences constructives diffèrent de $\Delta\theta_{\infty} = \frac{\lambda}{a}$

II-1a $\Delta\theta_{\infty} = \frac{\lambda}{a} = \frac{58 \cdot 10^{-7}}{3 \cdot 10^{-1}} = 20 \cdot 10^{-6} \text{ rad}$ ← indistinguable à l'œil nu.

L'œil peut résoudre $\Delta\theta_{\min} = 1'$. Il faut grossir avec un télescope de $G = \frac{\Delta\theta_{\min}}{\Delta\theta_{\infty}} = 150$

II-1b $m_{\text{réel}} \rightarrow$  $m=1 \rightarrow$  fictif

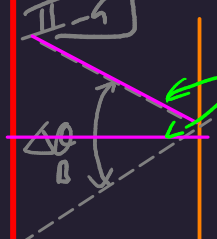
Ajouté 1 chemin optique de $(m_{\text{réel}} - 1)\lambda$, on calcule $\frac{(m_{\text{réel}} - 1)\lambda}{\lambda} = 9 \cdot 10^3 \rightarrow$ décalage de $9 \cdot 10^3$ interférences!

II-2 On somme :

$I = 4I_0 + 2I_0 [\cos \beta \theta + \cos \beta (\theta - \theta_{s2})]$

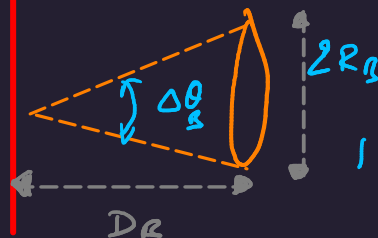
$I = 4I_0 \left[1 + \cos \beta \left(\theta - \frac{\theta_{s2}}{2}\right) \cos \left(\beta \frac{\theta_{s2}}{2}\right)\right]$

II-3 Quand $\cos\left(\beta \frac{\theta_{s2}}{2}\right) = 0$, (contraste nul : $I = 4I_0 = \text{cte.}$ ← plus d'interférences, pour $\frac{\pi a}{\lambda} \theta_{s2} = \frac{\pi}{2}$ ie $a = \frac{\lambda}{2\theta_{s2}}$.)

II-4  Si d est tel que ces 2 directions donnent un contraste nul, toutes les paires $\theta, \theta + \frac{\Delta\theta_{\infty}}{2}$ feront de même, et on aura 1 contraste nul : il faut pour cela

$a = \frac{\lambda}{2 \frac{\Delta\theta_{\infty}}{2}} = \frac{\lambda}{\Delta\theta_{\infty}} \rightarrow \Delta\theta_{\infty} = \frac{\lambda}{a} = 1,85 \cdot 10^{-7} \text{ rad}$ (with $\lambda = 5,75 \cdot 10^{-7}$ and $a \approx 3,1$)

On en déduit



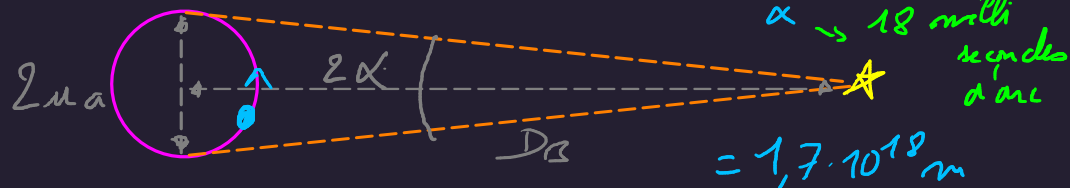
$R_B = D_B \frac{\Delta\theta_{\infty}}{2} = \frac{D_R}{2a} \lambda = 4,7 \cdot 10^{-11} \text{ m}$ (with $D_R = 5,1 \cdot 10^{-10}$ and $a \approx 3,1$)

- II-5 • l'article donne $\lambda = 5,75 \cdot 10^5 \text{ cm}$
au lieu de $5,75 \cdot 10^{-5} \text{ cm}$, coquille?
- le terme 1,22 absent du modèle utilisé vient du fait que la source lumineuse est un **disque** et non un **segment**

- 0,047 est la valeur de $\Delta \theta_B$ en secondes d'arc. On retrouve (en tenant compte du 1,22 la même valeur:

$$0,047 \times \frac{\pi}{180} \times \frac{1}{3600} = 1,22 \times 1,85 \cdot 10^{-7} \text{ rad.}$$

- la parallaxe est la distance angulaire entre les directions où et où un astre depuis 2 points diamétralement opposés de l'orbite terrestre \rightarrow elle donne $D_B = \frac{1 \text{ ua} \leftarrow 1,5 \cdot 10^{11} \text{ m}}{\alpha \rightarrow 18 \text{ milli secondes d'arc}}$



inférieure à la valeur actuellement admise de $5,2 \cdot 10^{18} \text{ m}$.

- M & P calculent $R_B = \frac{2,4 \cdot 10^8}{\sin 1} = 1,9 \cdot 10^{11} \text{ m}$ en accord avec notre valeur si on prend
- leur valeur de D_B
- le facteur 1,22

$$\text{car } \frac{1,9 \cdot 10^{11}}{1,22} \times \frac{5,7}{1,7} = 4,8 \cdot 10^{11} \text{ m.}$$

Brombone de Koenig

I-1-a] $\zeta_1(t, x) = X \cos[\omega(t - \frac{S_1 r}{c})]$

avec $S_1 r = |x - x_1|$

I-1-b

$x_1 < x < x_2$: $S_1 r = x - x_1$
 $S_2 r = x_2 - x$

$$\zeta = X \left(\cos \left[\omega \left(t - \frac{x - x_1}{c} \right) \right] + \cos \left[\omega \left(t - \frac{x_2 - x}{c} \right) \right] \right)$$

$$= 2X \cos \left[\omega \left(t + \frac{x_1 - x_2}{2c} \right) \right] \cos \left[\omega \left(t - \frac{x - \frac{(x_1 + x_2)}{2}}{c} \right) \right]$$

$x > x_2$: $S_1 r = x - x_1$
 $S_2 r = x - x_2$

$$\zeta = X \left(\cos \left[\omega \left(t - \frac{x - x_1}{c} \right) \right] + \cos \left[\omega \left(t - \frac{x - x_2}{c} \right) \right] \right)$$

$$= 2X \cos \left[\omega \left(t - \frac{x - \frac{(x_1 + x_2)}{2}}{c} \right) \right] \cos \left[\omega \left(\frac{x_2 - x_1}{2c} \right) \right]$$

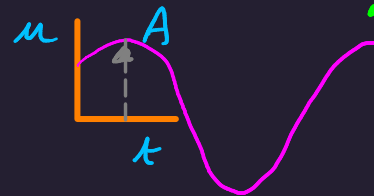
I-2-a] En $x=0$, $x_1 < x < x_2$, oscillations d'amplitude $2X$ pour $\cos \left(\omega \frac{x_1 + x_2}{2c} \right) = \pm 1$, par exemple $x_1 = -x_2$

I-2-b] Pour $x > x_2$ on aura interférences destructives pour $\cos \omega \left(\frac{x_2 - x_1}{2c} \right) = 0$, par exemple $\omega \left(\frac{x_2 - x_1}{2c} \right) = \pi/2$, i.e

$$x_2 - x_1 = \frac{c\pi}{\omega} = \frac{\lambda}{2} \text{ avec } \omega = \frac{2\pi}{\lambda}$$

II-1] Les deux ondes sont progressives du haut-parleur au microphone : on est dans le cas $x > x_2$

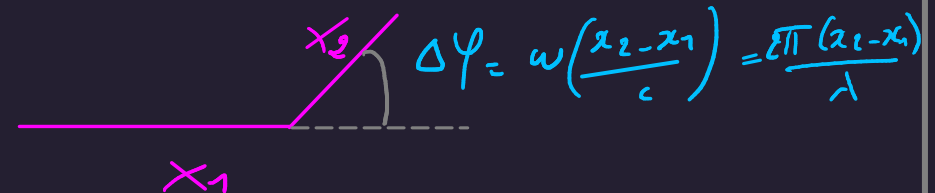
II-2-a



Les variations de Δx correspondent à des variations de $x_2 - x_1$.

L'amplitude minimale n'étant pas nulle, les amplitudes des 2 ondes sont différentes : $x_1 \neq x_2$

En Fresnel :



On passe de constructif à destructif quand $\Delta\varphi$ varie de π ie $x_2 - x_1$ varie de $\Delta(x_2 - x_1) = \Delta d_2$

$$\text{tg } \frac{2\Delta d_2}{\lambda} = \pi \text{ ie } \Delta d_2 = \frac{\lambda}{2} = \frac{c}{2f}$$

$$\rightarrow c = 2f \Delta d_2 = 3,5 \cdot 10^2 \text{ m.s}^{-1}$$

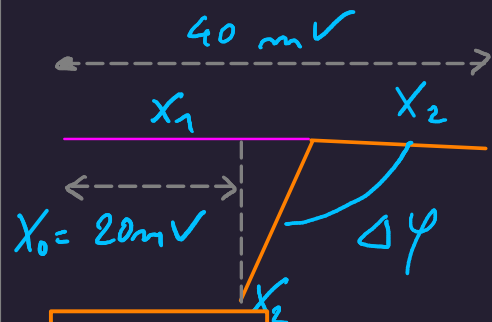
$\uparrow 2,5 \text{ cm}$

II-2-b La construction de Fresnel montre que

$$\begin{cases} X_{\min} = x_1 - x_2 \\ X_{\max} = x_1 + x_2 \end{cases} \text{ On a donc } \frac{x_1}{x_2} = 1,16$$

$$\begin{cases} x_1 - x_2 = 3 \text{ mV} \\ x_1 + x_2 = 40 \text{ mV} \end{cases} \rightarrow \begin{cases} x_1 = 21,5 \text{ mV} \\ x_2 = 18,5 \text{ mV} \end{cases}$$

II-2-c On était à 20 mV, on va jusqu'à 40 mV
Al Kashi donne:



$$x_0 = x_1 + x_2 \cos(\Delta\varphi)$$

$$\cos(\Delta\varphi) = \frac{x_0 - x_1}{x_2} = -0,1$$

$$\Delta\varphi = 95^\circ \text{ or } \Delta\varphi = \frac{2\pi f \Delta d_2}{c}$$

$$\rightarrow \Delta d_2 = \frac{c \Delta\varphi}{2\pi f} = 1,3 \text{ cm}$$

$\uparrow 7 \text{ kHz}$

II-3 On a $\omega_2 = \omega_1 + 2\pi\Delta f$

$$\begin{aligned} X &= x_1 \cos\left[\omega_1\left(t - \frac{x_1}{c}\right)\right] + x_2 \cos\left[\omega_2\left(t - \frac{x_2}{c}\right)\right] \\ &= x_1 \cos\left[\omega_1\left(t - \frac{x_1}{c}\right)\right] + x_2 \cos\left[\omega_1\left(t - \frac{x_2}{c}\right) + 2\pi\Delta f\left(t - \frac{x_2}{c}\right)\right] \\ &= \varphi_2 \end{aligned}$$

φ_2 correspond à une variation de de telle que $-\frac{\omega \Delta d_2}{c} = 2\pi\Delta f\left(t - \frac{x_2}{c}\right)$

soit à une vitesse de

$$v_2 = c \frac{2\pi\Delta f}{\omega} = \frac{c \Delta f}{f} = 10 \text{ cm.s}^{-1}$$

$\uparrow 350 \text{ m.s}^{-1} \quad \uparrow 7 \text{ kHz}$